

3. Гузь О.М. Про приближений метод визначення концентрації напружень навколо криволінійних отворів в оболонках / Гузь О.М. // Прикладная механика. – 1962. – 8, № 6. – С.605-612.
4. Векуа И.Н. Теория тонких пологих оболочек переменной толщины / Векуа И.Н. // Тр. Тбилис. матем. ин-та – 1965. – 30. – С.3-103.
5. Теория тонких оболочек, ослабленных отверстиями / Гузь А.Н., Чернышенко И.С., Чехов В.Н. и др. – К.: Наукова думка, 1980. – 686с. (Методы расчета оболочек: В 5-и томах.; Т. 1).

Поступила в редколлегию 10.04.2014.

УДК 539.3

КИРИЛЮК В.С., д.физ.-мат.н., вед.науч. сотр.
ЛЕВЧУК О.И., к.физ.-мат.н., ст.науч.сотр.

Институт механики им. С.П.Тимошенко НАН Украины

НАПРЯЖЕННОЕ СОСТОЯНИЕ УПРУГОГО ОРТОТРОПНОГО ТЕЛА С ЭЛЛИПТИЧЕСКОЙ ТРЕЩИНОЙ ПОД ВНУТРЕННИМ ДАВЛЕНИЕМ (С УЧЕТОМ ОРИЕНТАЦИИ ТРЕЩИНЫ)

Введение. Исследования пространственных задач механики разрушения о напряженном состоянии упругого изотропного тела с дискообразными или эллиптическими трещинами проводились в ряде классических работ и монографий [1-3] и др. Значительно меньшее число работ посвящено изучению распределения напряжений в трансверсально-изотропном материале, содержащем плоские трещины круговой или эллиптической формы [4, 5] и др. При этом существенным ограничением в этих работах являлось предположение о расположении плоских трещин в плоскостях изотропии трансверсально-изотропного материала. Получение замкнутых решений упомянутых задач основано на известных представлениях общих решений трехмерных уравнений для изотропного и трансверсально-изотропного материалов через гармонические (квазигармонические) функции. Для упругого ортотропного материала такие представления не получены. Также для изотропного и ортотропного материалов фундаментальное решение (функция Грина для бесконечной среды) выражается в явном виде через элементарные функции, что принципиально отличает их от случая упругого ортотропного материала. Дополнительные математические трудности, связанные с упомянутыми обстоятельствами, не позволяют при рассмотрении трехмерных задач теории упругости для ортотропных материалов использовать методы и подходы, успешно применяемые при исследовании пространственных задач механики разрушения для изотропных и трансверсально-изотропных тел с плоскими трещинами.

Задачи о распределении напряжений в ортотропных материалах вблизи круговых или эллиптических трещин, расположенных в главных плоскостях ортотропии материала, изучены в [6, 7] на основе применения тройного преобразования Фурье, Фурье-образа функции Грина для ортотропной среды, теоремы о вычетах Коши и численного интегрирования на основе квадратур Гаусса. В настоящей работе этот подход усложнен для проведения расчетов напряженного состояния и КИН вдоль фронта эллиптической трещины с учетом ее ориентации в ортотропном материале. Даны рекомендации по применению аналитико-численного алгоритма решения задач при различных отношениях полуосей эллиптической трещины (под внутренним давлением).

Постановка задачи. Пусть ортотропная упругая среда (с осями ортотропии Ox ,

$0y, 0z$ в системі координат (x, y, z) содержит еліптичну тріщину, орієнтація якої зв'язана з локальною системою (x^1, y^1, z^1) . Припустимо, що від системи (x, y, z) можна перейти до системи (x^1, y^1, z^1) з допомогою вращень осей $0x, 0y, 0z$ на кути α, β, γ відповідно. Еластичні властивості ортотропного матеріалу в системі (x, y, z) характеризуються дев'ятьма незалежними постійними $c_{11}, c_{22}, c_{33}, c_{12}, c_{13}, c_{23}, c_{44}, c_{55}, c_{66}$. Еластичні постійні C_{ijkl} зв'язані з величинами c_{mn} залежностями

$$\begin{aligned} C_{1111} &= c_{11}; C_{2222} = c_{22}; C_{3333} = c_{33}; & C_{1122} &= C_{2211} = c_{12}; & C_{1133} &= C_{3311} = c_{13}; \\ C_{2233} &= C_{3322} = c_{23}; C_{2323} = C_{2332} = C_{3232} = C_{3223} = c_{44}; \\ C_{3131} &= C_{3113} = C_{1331} = C_{1313} = c_{55}; C_{1212} = C_{1221} = C_{2121} = C_{2112} = c_{66}. \end{aligned} \quad (1)$$

При цьому інші компоненти тензора C_{ijkl} рівні нулю. Орієнтацію тріщини можна урахувати, переходячи до рішення задачі про еліптичну тріщину (внутрішнім тиском) в анізотропному еластичному матеріалі (в системі (x^1, y^1, z^1)), властивості якого знаходимо з допомогою перетворення тензора четвертого порядку

$$C_{ijkl}^{(\alpha, \beta, \gamma)} = C_{mnpq} T_{im} T_{jn} T_{kp} T_{lq}, \quad (2)$$

де T_{ij} – матриця перетворення

$$T_{ij} = \begin{bmatrix} \cos \beta \cos \gamma & -\cos \beta \sin \gamma & \sin \beta \\ \sin \alpha \sin \beta \cos \gamma + \cos \alpha \sin \gamma & -\sin \alpha \sin \beta \sin \gamma + \cos \alpha \cos \gamma & -\sin \alpha \cos \beta \\ -\cos \alpha \sin \beta \cos \gamma + \sin \alpha \sin \gamma & \cos \alpha \sin \beta \sin \gamma + \sin \alpha \cos \gamma & \cos \alpha \cos \beta \end{bmatrix}. \quad (3)$$

Ця матриця T_{ij} є результатом послідовного множення трьох матриць, що відображають праві вращення навколо кожної з осей координат.

Граничні умови на поверхні еліптичної тріщини при рівномірному тиску приймають вигляд

$$\sigma_{13}^{\pm} = 0; \sigma_{23}^{\pm} = 0; \sigma_{33}^{\pm} = -P_0 \quad (x \in S); \vec{u}(\vec{x}) \rightarrow 0, |\vec{x}| \rightarrow \infty, \quad (4)$$

де S – двохстороння поверхня тріщини, P_0 – задане значення тиску.

Метод рішення. Використаємо інтегральне вираження функції Грина для анізотропного еластичного простору [8]

$$G_{ij}^{(\alpha, \beta, \gamma)}(\vec{x} - \vec{x}') = \frac{1}{(2\pi)^3} \int_{-\infty}^{\infty} \int_{-\infty}^{\infty} \int_{-\infty}^{\infty} N_{ij}(\vec{\xi}) D^{-1}(\vec{\xi}) e^{i\vec{\xi} \cdot (\vec{x} - \vec{x}')} d\xi_1 d\xi_2 d\xi_3, \quad (5)$$

де $N_{ij}(\vec{\xi})$ – відповідні алгебраїчні доповнення елементів матриць виду

$$\{K_{ki}(\vec{\xi})\} = \{C_{kjil}^{(\alpha, \beta, \gamma)} \xi_j \xi_l\} = \{C_{klij}^{(\alpha, \beta, \gamma)} \xi_l \xi_j\} = \{C_{ijkl}^{(\alpha, \beta, \gamma)} \xi_l \xi_j\} = \{K_{ik}(\vec{\xi})\}, \quad (6)$$

а $D(\vec{\xi})$ – її визначник. Для еліптичної тріщини поле переміщень представимо з допомогою скачків переміщень [9] через поверхню тріщини

$$u_i(\bar{x}) = \frac{i}{(2\pi)^3} \int_{-\infty}^{\infty} \int_S C_{jlm3}^{(\alpha, \beta, \gamma)} b_m(\bar{x}') \xi_l N_{ij}(\bar{\xi}) D^{-1}(\bar{\xi}) e^{i\bar{\xi} \cdot (\bar{x} - \bar{x}')} d\bar{\xi} dx'_1 dx'_2, \quad (7)$$

где неизвестный вектор $\bar{b}(\bar{x})$ принимает вид $\bar{b}(\bar{x}) = \bar{b} \left(1 - x_1^2/a_1^2 - x_2^2/a_2^2 \right)^{1/2}$. С помощью теоремы Коши о вычетах далее имеем

$$u_i(\bar{x}) = \frac{1}{4\pi^2} \sum_{M=1}^3 \int_{-\infty}^{\infty} \int_{-\infty}^{\infty} \int_S \frac{C_{jlm3}^{(\alpha, \beta, \gamma)} \xi_l^M N_{ij}(\bar{\xi}^M)}{\partial D(\bar{\xi}^M) / \partial \xi_3} b_m(\bar{x}') e^{i\bar{\xi}^M \cdot (\bar{x} - \bar{x}')} d\xi_1 d\xi_2 dx'_1 dx'_2, \quad (8)$$

где суммирование проводится для ξ_3^M – корней уравнения $D(\bar{\xi}) = 0$ с отрицательной мнимой частью, а вектор $\bar{\xi}^M$ принимает вид $\bar{\xi}^M = (\xi_1, \xi_2, \xi_3^M(\xi_1, \xi_2))$. Поле напряжений получаем в виде

$$\sigma_{ij}(\bar{x}) = \frac{-i}{4\pi^2} \sum_{M=1}^3 \int_{-\infty}^{\infty} \int_{-\infty}^{\infty} \int_S \frac{C_{ijkl}^{(\alpha, \beta, \gamma)} C_{pqm3}^{(\alpha, \beta, \gamma)} \xi_q^M \xi_l^M N_{kp}(\bar{\xi}^M)}{\partial D(\bar{\xi}^M) / \partial \xi_3} b_m(\bar{x}') e^{i\bar{\xi}^M \cdot (\bar{x} - \bar{x}')} d\xi_1 d\xi_2 dx'_1 dx'_2$$

Проводя дальнейшие упрощения, согласно [9] имеем

$$\sigma_{ij}(\bar{x}) = \frac{-i}{4} \int_0^{2\pi} \sum_{M=1}^3 F_{ijm}^{(\alpha, \beta, \gamma)} \left(\frac{\eta_1}{a_1}, \frac{\eta_2}{a_2}, \xi_3^M(\eta_1/a_1, \eta_2/a_2) \right) b_m d\varphi, \quad (9)$$

где $\eta_1 = \cos \varphi$; $\eta_2 = \sin \varphi$, а функция F_{ijm} имеет вид

$$F_{ijm}^{(\alpha, \beta, \gamma)}(\xi_1, \xi_2, \xi_3) = \frac{C_{ijkl}^{(\alpha, \beta, \gamma)} C_{pqm3}^{(\alpha, \beta, \gamma)} \xi_q \xi_l N_{kp}(\bar{\xi})}{\partial D(\bar{\xi}) / \partial \xi_3}. \quad (10)$$

При вычислении контурных интегралов воспользуемся методом квадратур Гаусса, и, удовлетворив граничным условиям на поверхности трещины, определим неизвестные значения скачков перемещений. Из анализа асимптотических выражений напряжений в плоскости трещины приходим к следующим выражениям КИН:

$$k_{ij} = i\sqrt{\pi} (x_1^2/a_1^4 + x_2^2/a_2^4)^{-1/4} \sum_{M=1}^3 F_{ijm}^{(\alpha, \beta, \gamma)} \left(\frac{x_1}{a_1}, \frac{x_2}{a_2}, \xi_3^M(x_1/a_1, x_2/a_2) \right) b_m; \quad (11)$$

$$K_I = k_{33}; \quad K_{II} = k_{31}n_1 + k_{32}n_2; \quad K_{III} = k_{31}(-n_2) + k_{32}n_1,$$

где компоненты нормали в плоскости трещины к ее границе имеют вид $n_1 = (x_1/a_1^2)/(x_1^2/a_1^4 + x_2^2/a_2^4)^{1/2}$, $n_2 = (x_2/a_2^2)/(x_1^2/a_1^4 + x_2^2/a_2^4)^{1/2}$. Полученные выражения служат для оценки КИН эллиптической трещины (с учетом ее ориентации в ортотропном материале).

Анализ результатов численных исследований. Изучим распределение коэффициента интенсивности напряжений вдоль фронта эллиптической трещины, расположенной в ортотропном материале при различных ориентациях трещины. Упругие свойства ортотропного материала возьмем такими, что соответствуют ортогонально арми-

рованному стеклопластику (2:1) согласно [10]. На рис.1 приведено изменение КИН K_I вдоль границы эллиптической трещины с учетом ее ориентации в ортотропном материале. При расчетах значения полуосей эллипса полагались такими: $a_1 = 1$; $a_2 = 0,5$. На

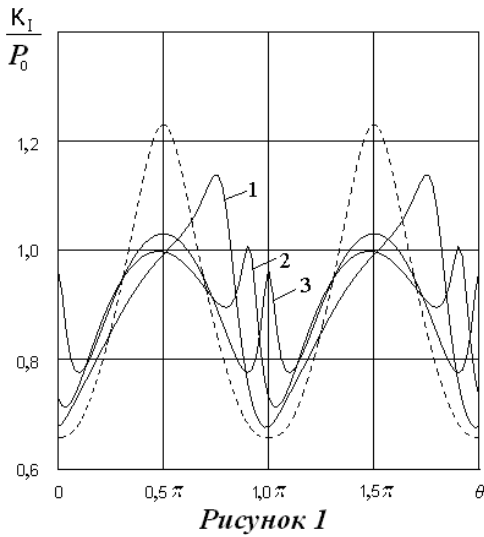


Рисунок 1

рисунокє линии 1, 2, 3 соответствовали значениям углов поворота $\gamma = 30^0; 60^0; 90^0$. Видно, что ориентация трещины в анизотропном материале влияет не только на сами значения КИН, но и на характер их распределения вдоль фронта трещины. На рис.2, 3 показано изменение коэффициентов интенсивности напряжений K_{II} и K_{III} вдоль границы эллиптической трещины при расположении трещины не в главных плоскостях ортотропии. Линии 1, 2 на этих рисунках соответствовали значениям углов поворота $\beta = 30^0; 60^0$. Отметим, что в случае расположения эллиптической трещины (под постоянным внутренним давлением) в

плоскостях симметрии ортотропного материала, значения K_{II} и K_{III} равны нулю. Ненулевые значения этих величин для плоской трещины под внутренним давлением (при отсутствии касательных нагрузок) вызваны исключительно ее ориентацией не в главных плоскостях в ортотропном материале. Также отметим, что при численном нахождении контурных интегралов и вычислении КИН, использовались квадратурные формулы Гаусса различных порядков, начиная от $n=12$ и до $n=96$. Численный анализ результатов исследований показал, что при отношении полуосей эллиптической трещины $0,5 \leq b/a \leq 1$ (при различных ее ориентациях) достаточно ограничиться порядком квадратурной формулы $n=24$, в то же время для отношений $0,08 \leq b/a \leq 0,1$ в отдельных случаях возникала необходимость применения порядка $n=96$.

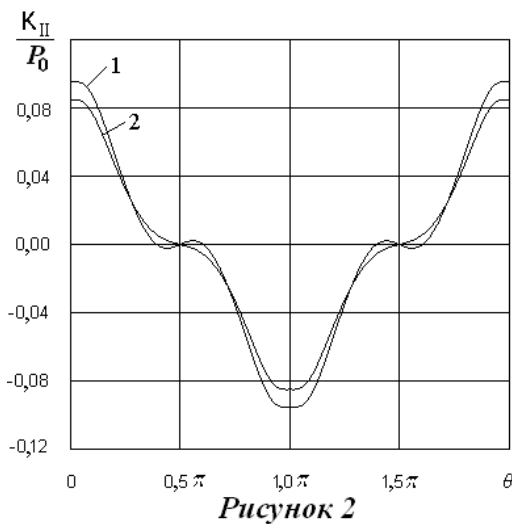


Рисунок 2

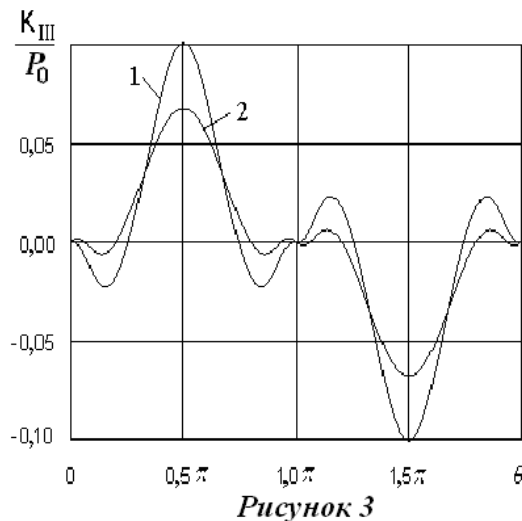


Рисунок 3

Выводы. Таким образом, в работе проведен аналитико-численный анализ коэффициентов интенсивности напряжений вдоль фронта эллиптической трещины (под однородным внутренним давлением) с учетом ее ориентации в упругом ортотропном материале. Установлены закономерности распределения КИН вдоль границы трещины

при різних її орієнтаціях. Показано, що орієнтація тріщини може значительним образом повліяти не тільки на значення КІН, але й на сам характер їх розподілення вздовж фронту тріщини. Виявлені суттєві ефекти, викликані орієнтацією тріщини в анізотропному упругому матеріалі.

ЛИТЕРАТУРА

1. Лурье А.И. Теория упругости / Лурье А.И. – М.: Наука, 1970. – 939с.
2. Kassir M.K., Sih G. Three-dimensional crack problems / Kassir M.K., Sih G. – Leyden: Nordhoff Interen. Publ., 1975. – 425p. – (Mechanics of fracture; V. 2).
3. Shan R.C. and Kobayashi A.S. Stress intensity factors for an elliptical crack under arbitrary normal loading // Eng. Fract.Mech. – 1971. – № 3. – P.71-96.
4. Подильчук Ю.Н. Точные аналитические решения пространственных граничных задач статики трансверсально-изотропного тела канонической формы (обзор) / Подильчук Ю.Н. // Прикладная механика. – 1997. – № 10 (33). – С.3-30.
5. Chiang C.-R. Some crack problems in transversely isotropic solids / Chiang C.-R. // Acta Mechanica. – 2004. – № 1 (170). – P.1-9.
6. Kirilyuk V.S. On the stress state of the orthotropic medium with penny-shape crack // Int. Appl. Mech. – 2004.– 40, № 12.– P. 84–91.
7. Kirilyuk V.S. The stress state of an elastic orthotropic medium with elliptic crack under tension and shear / Kirilyuk V.S. // Int. Appl. Mech. – 2005. – № 4 (41). – P.358-366.
8. Mura T. Micromechanics of defects in solids / Mura T. – Boston, London: Martinus Nijhoff, 1987. – 587p.
9. Willis L.J. The stress field around an elliptical crack in an anisotropic medium / Willis L.J. // Int.J. Eng. Sci. – 1968. – Т. 6, № 5. – P.253-263.
10. Лехницкий С.Г. Теория упругости анизотропного тела / Лехницкий С.Г. – М.: Наука, 1977. – 415с.

Поступила в редколлегию 10.04.2014.

УДК 539.3

СТЕБЛЯНКО П.О., д.фіз.-мат.н., професор
КРАВЧУК Т.В., аспірант

Дніпродзержинський державний технічний університет
Черкаський національний університет ім. Б.Хмельницького

ПОБУДОВА БАЗИСНОГО ТРИВИМІРНОГО СПЛАЙНА ДЛЯ РОЗВ'ЯЗУВАННЯ ЗАДАЧ МАТЕМАТИЧНОГО МОДЕЛЮВАННЯ

Вступ. Сплайн-інтерполяція, на сьогодні, є одним із найточніших методів наближення, який широко застосовується для розв'язування задач математичного моделювання. І тому останнім часом дослідження різних способів сплайн-апроксимації є досить актуальним.

В сучасних умовах дизайнерська та інженерна діяльність тісно пов'язана з використанням електронно-обчислювальної техніки. Перед конструкторами, дизайнерами, інженерами завжди постає необхідність мати системи для точного моделювання, візуалізації та аналізу моделей. І чим простіші та ефективніші ці моделі, тим краще. Для цього і виникає необхідність побудови багатовимірних сплайн-функцій, що допоможе спростити процес моделювання, забезпечуючи при цьому високу точність. Протягом останніх років дослідженнями сплайнів та розв'язанням різноманітних задач з допомо-